**LEGENDA****1. COMPLESSI IDROGEOLOGICI**

Grado di permeabilità (secondo AFES*, 1992)				Compleksi idrogeologici	Unità idrogeologica (dalle Carte Geologiche)
Alto K>10-4 m/s	Medio K=10-4+10-6 m/s	Basso K=10-6+10-9 m/s	Molto basso K<10-9 m/s		
				I	M4.Pa
				II	M5
				III	Drettico-cotuviale
				IV	Deposi alluvionali attuali medio-recenti

**2. ASSETTO DELLA FALDA SUPERFICIALE CONTENUTA NEI DEPOSITI ALLUVIONALI RELATIVI ALLA PIANA DI FONDOVALLONE DEL F.TANARO**

- 160 Linee isopiezometriche relative alla falda libera superficiale (quota in m s.l.m.).
  - Principale direzione di deflusso sotterraneo della falda libera superficiale.
- La ricostruzione dell'andamento della superficie piezometrica relativa alla falda libera superficiale, è stata elaborata in base ai dati idrogeologici rilevati nel periodo 1998 - 2002, integrati con la bibliografia scientifica più recente.

**3. PRINCIPALI ELEMENTI MORFOLOGICO-STRUTTURALI DEL VERSANTE.**

- T  $180^{\circ}-15^{\circ}$  Direzione, inclinazione e immersione degli strati.
- [Symbol] Blocchi di substrato disarticolato.
- - - Traccia delle principali superfici di discontinuità individuate.
- - - Dorsale relativa allo spartiacque principale.
- - - Dorsale secondaria.

**4. PRINCIPALI ELEMENTI RELATIVI ALLA CIRCOLAZIONE IDRICA SUPERFICIALE E SOTTERRANEA.**

- Depressioni chiuse e aperte, inghiottiti. Forme di sprofondamento superficiali connesse alla dissoluzione dei corpi gessosi.
- Tratto di corso d'acqua minore con tendenza all'approfondimento.
- Linee di drenaggio stagionale ben riconoscibili sulla cartografia storica, attualmente non più presenti a seguito dell'evoluzione recente del versante.
- Canalizzazioni irrupe principali.
- Sorgenti provenienti da bibliografia.
- Pozzo ad uso potabile.
- Pozzo ad uso irriguo/industriale.
- SRG 1 Sorgenti
- - - Linee di drenaggio sotterraneo ipotizzate per i circuiti carsici

**5. ELEMENTI RELATIVI ALLA DINAMICA FLUVIALE**

- Alveo attuale del F. Tanaro
- Riccrezione attraverso la cartografia storica e le riprese aerofotografiche dell'evoluzione dell'alveo del F. Tanaro a partire dalla metà dell'Ottocento: Andamento relativo al 1826, tratto dalla Gran Carta degli Stati Sardi di terraferma a scala 1:50.000, F.LIX - Alba.
- Andamento relativo al 1852, tratto dalla Gran Carta degli Stati Sardi di terraferma a scala 1:50.000, F.LIX - Alba.
- Depositi sabbiosi-gialosi relativi all'alveo di piena ordinaria del 1852.
- Andamento relativo alla fine del secolo XIX, tratto dalla Carta Topografica d'Italia a scala 1:25.000 dell'Istituto Geografico Militare: tavolete Alba, Bra e Cherasco, rilevate nel 1879-80.
- Depositi sabbiosi-gialosi relativi all'alveo di piena ordinaria nel 1879-80.
- Andamento relativo all'inizio del secolo XX, tratto dalla Carta Topografica d'Italia a scala 1:25.000 dell'Istituto Geografico Militare: tavolete Alba, Bra e Cherasco, aggiornate nel 1922-24.
- Depositi sabbiosi-gialosi relativi all'alveo di piena ordinaria nel 1922-24.
- Erosione di sponda pronunciata.
- Canale di erosione.
- Direzione di propagazione dei deflussi.

**5.1. Forme relative all'attività fluviale precedente**

- Orlo di terrazzo fluviale.
- - - Traccia di paleovalvo.
- C Canale abbandonato
- - - Limite dell'area inondata per apporti idrici relativi al F. Tanaro.
- - - Limite dell'area inondata principalmente per apporti idrici relativi alla rete idrografica minore e/o di canali irrag.
- Area inondata per apporto della rete idrografica minore.
- Rotta arginale.
- Tratto di rilevato stradale danneggiato o distrutto
- ✗ Ponte gravemente danneggiato o distrutto.
- ▼ Edificio gravemente danneggiato o distrutto.
- 0.80 Altezza raggiunta dall'acqua in metri sul piano campagna.

**5.2. Principali elementi relativi all'evento alluvionale del novembre 1994**

- Soglia in alveo al F. Tanaro.
- Opera di difesa sponde costruita o ripristinata in seguito all'evento alluvionale del novembre 1994.
- Opera di difesa sponde costruite tra la fine del secolo XIX e la prima metà del secolo XX.
- Fascia di rispetto dei pozzi idropotabili
- Pozzi idropotabili in via di dismissione

**6. INDAGINI GEOGNOSTICHE****6.1 - Sondaggi geotecnici a carotaggio continuo**

- 10VI Sondaggi geognostici Campagna Siccos 1998.
- 1V Sondaggi geognostici Campagna Soreco 1998.
- G... Sondaggi geognostici Campagna Radelli Castellotti 1991.
- ASP... Sondaggi geognostici Campagna RCT 1996.
- PS1 Sondaggio Regione Piemonte
- SI... Altri sondaggi geognostici presenti nell'area di progetto.
- S... Sondaggi geognostici 2006 - Studio di fattibilità (P2) sondaggi attrezzati con piezometro (I) sondaggi attrezzati con nivometro

- SIV... Sondaggi expertise 2006
- SPD 25- Sondaggio Progetto Definitivo, Geotecnico 1998.
- SPD 26- Sondaggio con piezometro multifiloso a tubo aperto a misurazione manuale.
- SPE 26- Sondaggio con piezometro multifiloso a tubo aperto a misurazione manuale.
- SPE 26- Sondaggio con piezometro multifiloso a tubo aperto ed acquisizione automatica di lunga durata, Campagna Geotecnico 2001.
- SPE 27- Sondaggio con piezometro multifiloso a tubo aperto a misurazione manuale.
- SFG Sondaggio con piezometro multifiloso a tubo aperto o cella Casagrande a misurazione manuale, Campagna Geotecnico 2001.
- SFG Sondaggio con tubo indinometrico.
- SFG Sondaggio con piezometro multifiloso a tubo aperto ed acquisizione automatica di lunga durata, Campagna Geotecnico 2001.
- S1 Sondaggio Gennaio 2009.
- Sondaggi geognostici campagna 2011-2012

- SOT Rete di inclinometri realizzata
- IOM Piezometro della rete di monitoraggio (strutturale)
- IOM Piezometro rete di valle (ambiente)
- IOM Piezometro lungo il tracciato (ambiente)
- IOM Piezometro rete di monte (ambiente)
- BH Sondaggio dicembre 2012

- DFG Sondaggio a distruzione di nucleo per l'installazione di strumentazione indinometrica

**6.3 - Probe penetrometriche dinamiche**

- PV... Probe penetrometriche Campagna Soreco 1998.

**6.4 - Pozzetti geognostici.**

- ▲ EPD25- Campagna Geotecnico 1998.

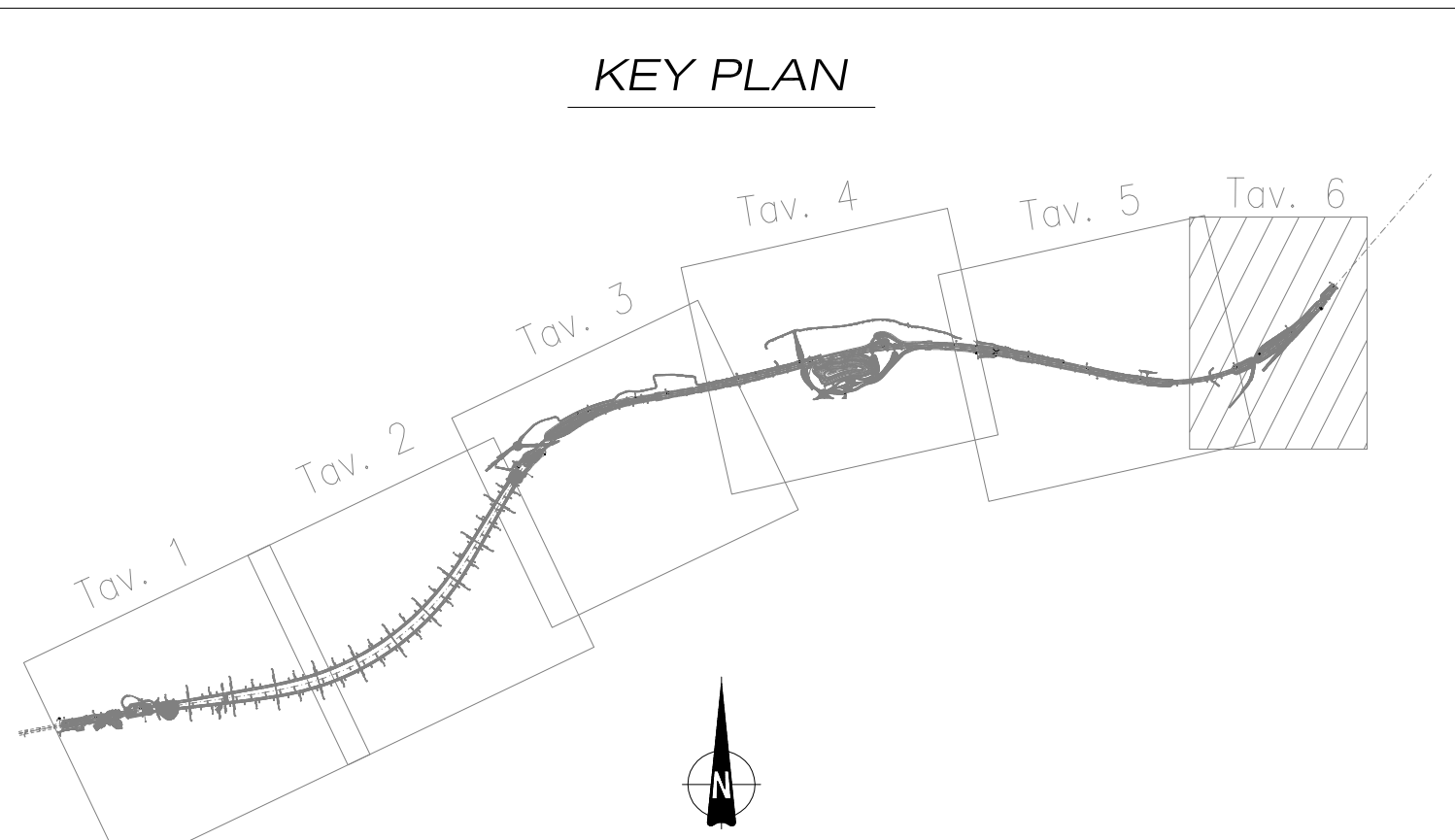
- ▲ EPE26- Progetto Esecutivo, Geotecnico 2001.

**6.5 - Scavi esplorativi**

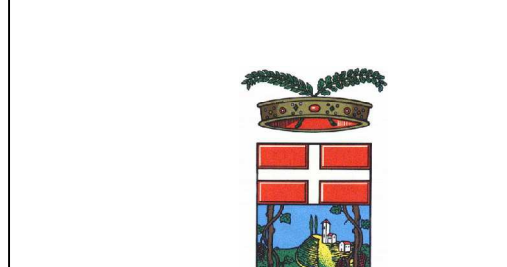
- T 6 Trincee.

**7. FASCE P.A.I.**

- Limite Fasce A-B
- Limite Fasce B-C
- Limite esterno Fasce C
- Limite di progetto Fasce B-C



Autostrada Asti-Cuneo

**COLLEGAMENTO AUTOSTRADALE ASTI - CUNEO**TRONCO II A21 (ASTI EST) - A6 (MARENE)  
LOTTO 6 RODDI - DIGA ENEL**PROGETTO ESECUTIVO STUDI E INDAGINI****GEOLOGIA E IDROLOGIA****CARTA IDROGEOLOGICA TAV 6**

Aggregato	Data	Aggr.	01	02	03	04	05	06	07	08	09	10	11	12	13	14	15	16	17	18	19	20	21	22	23	24	25	26	27	28	29	30	31	32	33	34	35	36	37	38	39	40	41	42	43	44	45	46	47	48	49	50	51	52	53	54	55	56	57	58	59	60	61	62	63	64	65	66	67	68	69	70	71	72	73	74	75	76	77	78	79	80	81	82	83	84	85	86	87	88	89	90	91	92	93	94	95	96	97	98	99	100	101	102	103	104	105	106	107	108	109	110	111	112	113	114	115	116	117	118	119	120	121	122	123	124	125	126	127	128	129	130	131	132	133	134	135	136	137	138	139	140	141	142	143	144	145	146	147	148	149	150	151	152	153	154	155	156	157	158	159	160	161	162	163	164	165	166	167	168	169	170	171	172	173	174	175	176	177	178	179	180	181	182	183	184	185	186	187	188	189	190	191	192	193	194	195	196	197	198	199	200	201	202	203	204	205	206	207	208	209	210	211	212	213	214	215	216	217	218	219	220	221	222	223	224	225	226	227	228	229	230	231	232	233	234	235	236	237	238	239	240	241	242	243	244	245	246	247	248	249	250	251	252	253	254	255	256	257	258	259	260	261	262	263	264	265	266	267	268	269	270	271	272	273	274	275	276	277	278	279	280	281	282	283	284	285	286	287	288	289	290	291	292	293	294	295	296	297	298	299	300	301	302	303	304	305	306	307	308	309	310	311	312	313	314	315	316	317	318	319	320	321	322	323	324	325	326	327	328	329	330	331	332	333	334	335	336	337	338	339	340	341	342	343	344	345	346	347	348	349	350	351	352	353	354	355	356	357	358	359	360	361	362	363	364	365	366	367	368	369	370	371	372	373	374	